

## Vitamin A와 E투여가 흰쥐 간조직 DNA와 Aflatoxin B<sub>1</sub> 과의 결합에 미치는 영향

이화여자대학교 의과대학 생화학교실

홍영숙

### = ABSTRACT =

Reduction in Binding of Aflatoxin B<sub>1</sub> to Rat Liver DNA by Vitamin A and E Pretreatment

Young-Sook Hong

Department of Biochemistry, College of Medicine, Ewha Womans University

We examined pattern of covalent modification of DNA produced in rat liver after exposure to single dose of aflatoxin B<sub>1</sub>. DNA-bound aflatoxin B<sub>1</sub> adducts obtained from rat liver microsomes were hydrolyzed with weak acid to yield 2, 3-dihydro-3-hydroxy-(N<sup>7</sup>-guanyl) aflatoxin B<sub>1</sub> as major product. This adduct was derived from the aflatoxin B<sub>1</sub>, 2, 3-dioxide and accounted for approximately 80% of the carcinogen-derived radioactivity incorporated into DNA. Acid hydrolysis of the nucleic acid-aflatoxin B<sub>1</sub> adducts also yielded 2, 3-dihydro-2, 3-dihydroxy-aflatoxin B<sub>1</sub> and other minor products.

Vitamin A and E pretreatment of rats resulted in reduction in the level of hepatic AFB<sub>1</sub>-DNA adducts to two-third of the control value. Therefore, administration of vitamin A and E to rats changes in AFB<sub>1</sub> metabolism probably decreased modification of DNA during this experiment.

고지적 하였다<sup>2)</sup>.

### 서 론

Aflatoxin (AFB<sub>1</sub>)은 genus Aspergillus로 여러종 족에서 대사산물로 형성되며 흰쥐, 무지개송어 및 오리에서 간암을 일으키는 능력을 갖고 있다<sup>1)</sup>. 역학적 자료에서 이런 mycotoxin은 사람에서도 간암을 일으킨다

AFB<sub>1</sub>과 세포속에 거대분자는 공유결합을 하며 이런 상호작용은 microsomal 효소에 의하여 반드시 대사적으로 활성화되어야만 한다<sup>3)</sup>. 이렇게 활성화된 화합물은 2, 3-vinyl ether 결합이 산화되어 형성된 반응성이 매우 강한 aflatoxin B<sub>1</sub>-2, 3-dioxide이다<sup>4)5)6)</sup>.

DNA 속에 guanine의 N<sup>7</sup>원자는 in vitro나 in vivo

\* 본 연구는 문교부 연구비에 의하여 수행된 것임.

에서 공유결합을 하므로써 변화되는 중요한 위치이다<sup>7)8)9)</sup>. Aflatoxin B<sub>1</sub>-DNA를 가수분해하면 AFB<sub>1</sub>-N<sup>7</sup>-GUA을 생성한다. 酸에 의하여 가수분해된 2개의 다른 생성물은 AFB<sub>1</sub>-N<sup>7</sup>-GUA로 부터 형성되며 이런 생성물은 대부분 AFB<sub>1</sub>-FAPY 유도체들이고 7, 9-위치에 치환된 imidazole ring이 분리되므로 형성된다. 이와같은 유도체들의 구조는 밝혀져 있다<sup>8)9)</sup>. AFB<sub>1</sub>과 흰쥐 간조직 DNA가 결합하여 형성된 생성물은 in vivo에서 AFB<sub>1</sub>이 대사적으로 활성화되어야 하며 이들 대사산물중의 하나는 친핵체(nucleophilic)인 guanine의 N<sup>7</sup>원자와 공유결합 하므로써 반응성이 높은 친전자체(electrophilic)가 되고, 또한 양하전을 가진 imidazole ring들은 자연적으로 가수분해되며 7, 9-위치에 치환된 purine들이 화학적으로 변형된다는 것을 지적하는 것이다.

In vitro에서 microsomal 효소에 의하여 활성화된 AFB<sub>1</sub><sup>10)</sup>과 DNA의 adenine 분자가 결합된다는 것이 지적되었다. 그러나 이런 생성물은 아직 완전히 분리 확인되지 않았다.

AFB<sub>1</sub>은 코유동물과 박테리아 세포에서 강력한 변이 유발소가 될려면 반드시 대사적으로 활성화를 필요로 하지만<sup>11)12)</sup> 돌연변이와 발암현상은 DNA와 covalent modification이 어떤 역할을 하는지는 확실히 밝혀지지 않았다.

이 논문에서는 AFB<sub>1</sub>에 의하여 흰쥐 간조직에서 공유결합된 DNA생성을 형성에 대한 자료를 보고 하려고 한다. AFB<sub>1</sub>을 치사량 이하의 량을 투여한 흰쥐 간장 DNA로부터 얻은 생성물을 측정해서 N<sup>7</sup>-guanine 부위의 DNA 결합을 분석하고 in vivo로 vitamin A와 E의 투여가 AFB<sub>1</sub>과 DNA 상호작용에 미치는 영향을 측정하고자 하였다.

## 실험재료 및 방법

### 1) 시약

Vitamin A acetate와 vitamin E는 E. Merk (W. Germany)를 사용하였다. Aflatoxin B<sub>1</sub>-<sup>14</sup>C (Sp. activity 180mCi/mmol)은 New England Nuclear (U.S.A)에서 구입하였다. Aflatoxin B<sub>1</sub>은 Aldrich chemical Co. (W. Germany), Ribonuclease A와 NA DH는 Sigma Co. (U.S.A), Nuclease P<sub>1</sub>은 Yamasa Shoyuco (JAPAN)을 사용하였다. 그외 시약은 reagent grade를 사용하였다.

### 2) 실험동물 및 실험군

전 실험을 통하여 체중 150g 내외의 웅성 흰쥐(spr-

ague dawley)를 사용하였다. Vitamin A는 2,000 I.U./100g 체중 / day, vitamin E는 12mg/100g 체중 / day를 stomach tube를 통하여 2주간 경구 투여하였다.

AFB<sub>1</sub>은 0.6 mg/kg 체중과 0.06 μCi <sup>14</sup>C- AFB<sub>1</sub>을 복강내로 주사한 후 2시간후에 동물을 희생 시켰다.

### 핵산의 분리 :

흰쥐에서 절제한 간을 0.25M sucrose-2mM CaCl<sub>2</sub>-0.05M Tris-HCl (pH 7.0) 24ml로 homogenize하여 여과하였다. 간 무게의 9배 부피에 25% Triton X-100이 최종농도가 5%가 되도록 넣은 후 1,000g에서 10분간 원심분리하여 상층액을 제거 하였다. 침전물을 0.05M Tris-HCl (pH 6.5)에 용해시키고 5% SDS와 4M NaCl이 최종농도가 각각 1%와 1M이 되도록 가하였다. CHCl<sub>3</sub>:isoamylalcohol, 24:1인 용매를 동량 가하여 추출한 후 7,000g에서 10분간 원심분리하였다. 상층액에 3배 부피의 ethanol을 가하고 생성된 침전물을 ethanol로 2회 씻은 후 진공에서 말렸다.

### RNA의 제거 :

분리한 핵산을 0.5 mg/ml이 되도록 0.1M NaCl-0.05 Tris-HCl (pH 7.0)에 용해시킨 후 RNase A를 100 μg/ml이 되도록 넣어 37°C에서 30분간 incubation시켰다. Incubation 후 4M NaCl-0.05M Tris-HCl (pH 7.0)의 최종농도가 0.8M이 되도록 가해주고 3배 부피의 ethanol을 가하고 생성된 침전물을 ethanol로 씻은 후 진공에서 건조시켰다.

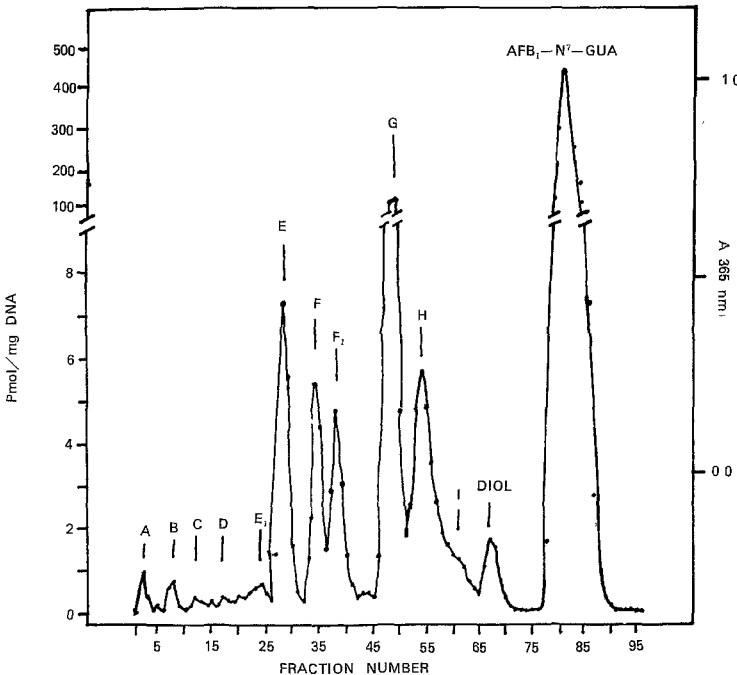
### AFB<sub>1</sub>-DNA의 가수분해 :

분리한 DNA를 1.0 mg/ml이 되도록 탈이온수에 용해시키고 1N HCl의 최종농도가 0.1N 되도록 가한 후 90°C에서 10분간 가열하였다. 이것을 냉각시키고 0.5M CH<sub>3</sub>COOK (pH 5.0)의 최종농도가 50mM이 되도록 가한 후 1N NaOH로 pH 5.0가 되도록 하였다. 100 μg nuclease P<sub>1</sub>/10 mg DNA를 가한 후 40°C에서 2시간 incubation하였다.

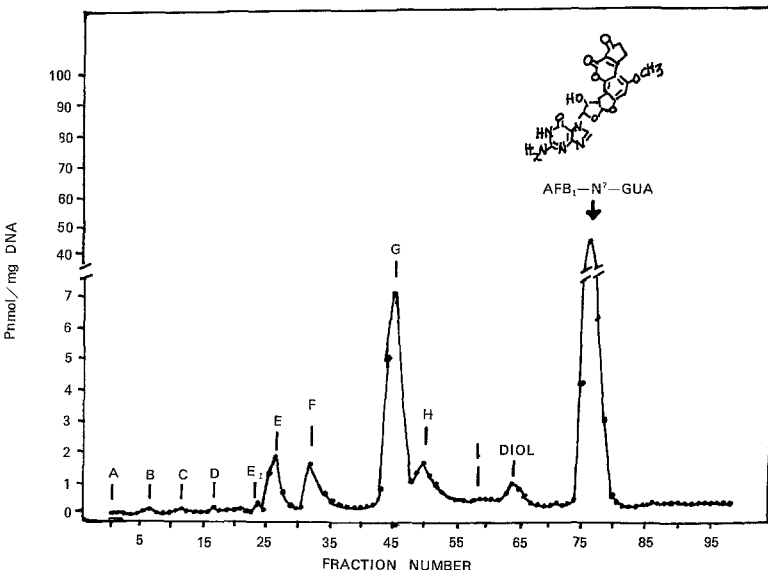
AFB<sub>1</sub> metabolite 부분은 waters gradient HPLC와 μ Bondapak C<sub>18</sub> Column으로 분리하였다.

## 실험 결과

흰쥐 간 DNA에서 공유결합된 AFB<sub>1</sub> 유도체 Chart 1은 0.6 mg/kg과 0.06 μCi의 AFB<sub>1</sub> 투여 2시간 후 흰쥐 간 DNA에서 얻어진 AFB<sub>1</sub> 가수분해 생성물을 분석한 결과이다. Peak의 구조가 알려지지 않은 화합물들은 편의상 A에서 1까지 표시 하였다. 가장 많이 많은 가수분해물은 fraction 75에서 80 까지로



**Chart 1.** High-pressure chromatography pattern of [<sup>14</sup>C]AFB<sub>1</sub> hydrolysis products obtained from rat liver DNA 2 hr after administration of [<sup>14</sup>C]AFB<sub>1</sub> (0.6 mg/kg). The amounts of AFB<sub>1</sub> derivatives (Pmol) in each 30-drop fraction per mg of DNA analyzed are shown.



**Chart 2.** High-pressure chromatography pattern of [<sup>14</sup>C]AFB<sub>1</sub> hydrolysis products obtained from administered vitamin A rat liver DNA after administration of [<sup>14</sup>C]AFB<sub>1</sub> (0.6 mg/kg). The amounts of AFB<sub>1</sub> derivatives (Pmol) in each 30-drop fraction per mg of DNA analyzed are shown.

Table 1. Concentration of aflatoxin derivatives hydrolyzed from  $AFB_1$ -modified DNA isolated from administered vitamin A, vitamin E and  $AFB_1$  (0.6mg/kg) rat liver.

Groups	Concentration (Pmol/mg DNA $10^2$ )											Total		
	A	B	C	D	E <sub>1</sub>	E	F	F <sub>1</sub>	G	H	I	Diol	$AFB_1-N^7-GUA$	
$AFB_1$ ( $AFB_1$ )	0.9	0.8	0.4	0.4	0.7	7.3	6.3	4.7	130	6.7	1.5	2.6	460	622.3
					( 1.2 )	( 1 )	( 8 )	( 21 )	( 1 )			( 74 )		
Vitamin A + $AFB_1$	0	0.1	0	0.1	0.1	2.2	1.8	0	7.0	1.5	0.2	1.2	46	108.0
						2	( 1.7 )		( 6 )	( 1.4 )	( 1.1 )	( 43 )		
Vitamin E + $AFB_1$	0	0.1	0	0.1	0.1	1.7	3.0	0	7.2	2.0	0.5	1.5	52	119.4
						( 1.4 )	( 2.5 )		( 4 )	( 1.7 )		( 44 )		

Numbers in parentheses, percentage of the total bound material represented by each peak.  
Values below 0.5% are not indicated.

DNA 속에 있는 guanine N<sup>7</sup>에 치환된  $AFB_1-N^7-GUA$ 이다.

Peak F와 G의 화합물은  $AFB_1-N^7-GUA$ 의 화학적 변화에 의한 생성물로 생각되며 이와같은 화합물들의 구조들은 miller<sup>4)</sup> 등에 의하여 제시된 바 있다 (chart 4). 즉 Peak G는 aflatoxin form amidopyrimidine 유도체고 Peak F는 1-midazole ring이 열려진 구조와 연관이 있다고 보고하였다. Peak H는  $AFB_1$  대사 산물인  $AFP_1$ 에서 형성된 N<sup>7</sup>-guanine-aflatoxin의 다른 공유결합 물질이다<sup>13)</sup>. 이와같이 O-methyl기가 떨어져나간 대사산물의 활성화는  $AFB_1$ 의 활성화 과정과 유사한 2,3-vinyl ether 결합의 산화라고 생각된다. Peak E는 아직 밝혀지지는 않았지만 aflatoxin M<sub>1</sub>과 같은 aflatoxin 대사산물의 활성화로 형성된 다른 N<sup>7</sup>-guanine 유도체로 추측된다.

그외에 다른 생성물은 aflatoxin 대사산물로 부터 형성된 유도체들이다.

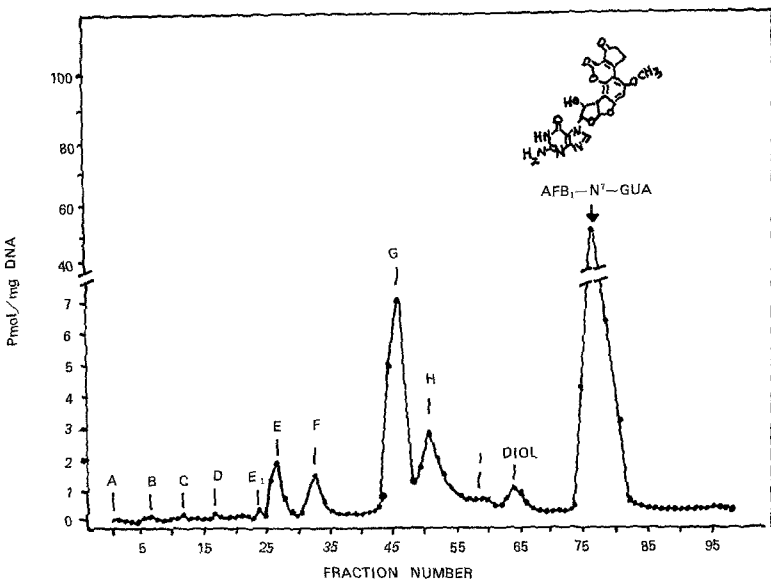
Vitamin A와 E를 투여한 흰쥐 간 DNA에서 공유 결합된  $AFB_1$  유도체.

Table 1과 chart 2 및 3는 2,000 I.U./day의 vitamin A와 12 mg/day의 vitamin E를 in vivo로 2주간 투여하고 0.6 mg/kg과 0.06  $\mu$ Ci의  $AFB_1$ 을 주사한지 2시간후에 흰쥐 간 DNA에서 얻은  $AFB_1$  가수분해 생성물의 chromatographic pattern을 나타낸 것이다.

Vitamin A와 E를 투여한 군에서 DNA와 공유 결합된 총 aflatoxin 유도체들은 각각 17% 및 19% 결합 되었으며 aflatoxin B<sub>1</sub>만 투여한 군에 비하면 83% 및 81% 감소 하였다 (chart 2, 3). Peak E는 각각 30% 및 23%가 DNA와 결합되어 약 70% 이상이 감소 하였다. Peak F<sub>1</sub>은 완전히 없어졌고 이는 2,3-dihydro-2,3-dihydroxy aflatoxin B<sub>1</sub>으로 알려졌다. DIOL과 같은 유도체이고 핵산과 같이 공유결합을 하지 않는 화합물이다. Peak G와 H도 DNA와의 결합이 약 70% 이상 감소 하였다. 이를 Peak는 Lin 등<sup>9</sup>에 의하여 화학적으로 비슷한 구조를 갖는다고 제시하였다.  $AFB_1-N^7-GUA$ 은 aflatoxin B<sub>1</sub>만 투여한 군에 비교하여 vitamin A와 E를 투여한 군에서 10%와 11%로 약 90%가 DNA와의 상호작용이 감소됨을 관찰할 수 있었다.

## 고 찰

$AFB_1$ 은 in vitro나 in vivo에서 주로 guanine의 N<sup>7</sup>원자에 DNA와 공유결합을 하고 있다고 알려져 있다. 세포내 거대분자와  $AFB_1$ 과 공유결합물의 확인은



**Chart 3.** High-pressure chromatography pattern of [<sup>14</sup>C]AFB<sub>1</sub> hydrolysis products obtained from administered vitamin E rat liver DNA 2 hr after administration of [<sup>14</sup>C]AFB<sub>1</sub> (0.6 mg/kg). The amounts of AFB<sub>1</sub> derivatives (Pmol) in each 30-drop fraction per mg of DNA analyzed are shown.

최종적으로 형성되는 분자의 확인과 이를 상호작용으로 DNA 재생과정이나 mutation과 같은 세포내 반응을 좀더 연구하기 위해서 꼭 필요하다.

흰쥐 간 DNA에서 AFB<sub>1</sub>과의 공유결합 물질이 형성됨을 발견하였다. 이를 화합물의 주요한 결합 부위는 AFB<sub>1</sub>이 활성화된 유도체들과 이를 대사산물중의 하나인 AFP<sub>1</sub>들이 DNA 분자의 guanine N<sup>7</sup>원자의 covalent modification으로 일어난다.

AFB<sub>1</sub>-2,3-epoxide와같이 반응성이 큰 분자는 in vivo에서 DNA나 다른 세포내 거래분자와 상당량 결합되므로 DNA와만이 결합해서 한가지 생성물을 형성한다고 생각하지는 않는다<sup>4)(14)</sup>. N<sup>7</sup>-생성물이 현저히 많이 생성되는 것은 이 위치가 alkylating agent<sup>15)</sup>에 의한 공격의 주요 부위인 친핵성(nucleophilicity)을 갖는것과 다른 친핵의 중심부<sup>16)</sup>의 접근하기 어려운 DNA의 helical 구조 때문에 초래한 결과일 가능성이 있다.

0.6 mg/kg의 AFB<sub>1</sub>을 주사한 간 DNA 와의 modification은 2시간후에 측정했으며 이때 투여한 AFB<sub>1</sub>의 약 1%가 간 DNA와 공유결합 하였다. AFB<sub>1</sub>-DNA를 가수분해하여 chromatographic 분석결과는 적어도 12개의 유도체가 나타났으며 이를 농도는 0.4 ~460 Pmol/mg DNA였다. 전에 보고에 의하면<sup>7)(9)(11)</sup> AFB<sub>1</sub>투여 2시간후 간 DNA 와의 공유결합된 주된 생

성물은 AFB<sub>1</sub>-N<sup>7</sup>-GUA로 80%를 차지했고, 그외 다른 생성물은 AFP<sub>1</sub>-N<sup>7</sup>-GUA과 aflatoxin M-guanine이라고 추측되는 Peak E가 7~8%를 차지한다고 보고하였다.

Vitamin A와 E를 투여한 간 DNA와의 modification을 보면 나머지 9개의 유도체들 중에 하나인 DIOL은 2,3-dihydro-2,3-dihydroxy- AFB<sub>1</sub>이라고 확인되었고, Peak F와 Peak G는 AFB<sub>1</sub>-N<sup>7</sup>-GUA이며 AFP<sub>1</sub>-N<sup>7</sup>-GUA과 Peak E (AFM<sub>1</sub>-N<sup>7</sup>-GUA)로 연관을 갖고 있다.

AFB<sub>1</sub>대사 작용의 변화와 AFB<sub>1</sub>-N<sup>7</sup>-GUA의 DNA에서 제거되는 속도는 반복해서 투여한 AFB<sub>1</sub>량이 DNA를 손상시키는 정도에 달려있다고 생각된다. 흰쥐에다 AFB<sub>1</sub>을 투여하면 간 P-450 mixed-function oxidase<sup>18)</sup>가 유도되고 P-450의 유도물질인 phenobarbitone을 투여하면 AFB<sub>1</sub>이 세포내 거래분자와의 결합이 감소하였다.

이런 결과와 같이 vitamin A와 E의 투여도 AFB<sub>1</sub> 대사 과정의 변화로 DNA의 modification을 감소시킨다고 추측된다. 또한 DNA로부터 AFB<sub>1</sub> 생성물들을 빨리 제거하기 위하여 재생효소의 유도증가, 혼산대사의 증가, 간 chromatin의 구조 변화등으로 AFB<sub>1</sub>에 의한 손상을 감소 시키는데 공헌한다고 생각된다. 또 유동물의 세포에서 DNA로부터 O<sup>6</sup>-methyl-guanine

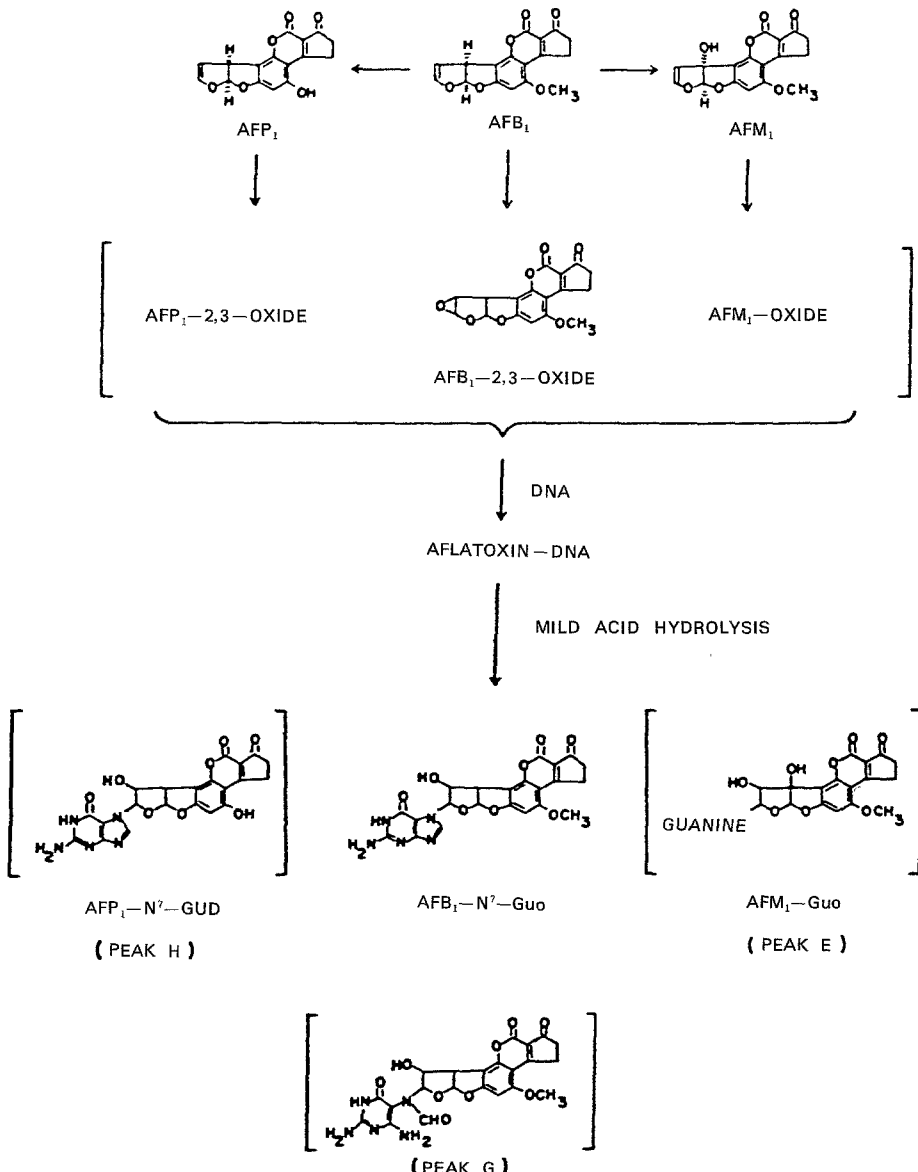


Chart 4. Proposed pathways of metabolic activation and DNA binding of AFB<sub>1</sub>, AFP<sub>1</sub>, aflatoxin P<sub>1</sub>; AFM<sub>1</sub>, aflatoxin M<sub>1</sub>; AFP<sub>1</sub>-2,3-oxide, aflatoxin P<sub>1</sub>-2,3-oxide; AFB<sub>1</sub>-2,3-oxide, aflatoxin B<sub>1</sub>-2,3-oxide; AFM<sub>1</sub>-oxide, aflatoxin M<sub>1</sub>-oxide.

이 제거되는 속도의 증가는 alkylating과 arylating agent<sup>19)20)</sup>를 반복해서 투여한 결과가 보고 되었다.

AFB<sub>1</sub>이나 다른 xenobiotics 가 DNA 와 covalent modification으로 형성된 화합물 그리고 이들 화합물들의 생화학적 효과와의 관계는 알려져 있지 않다. 간 DNA 와 공유결합된 유도체들은 간암 물질인 aromatic

amine 으로 N-methyl-4-aminoazobenzene<sup>21)</sup> 과 2-acetylaminofluorene<sup>22)</sup>에 의하여 형성된다. N-methyl-4-amino-azobenzene에 의하여 형성된 DNA 의 주요한 성분들은 N-(deoxyguanosine 8-yl)-N-methyl-4-aminoazobenzene<sup>23)</sup>로써 확인되었다. 2-Acetylaminoflcorene은 DNA 속에서 gua-

nine의 C<sup>8</sup>과 N<sup>2</sup>원자에 공유결합 생성물을 형성한다<sup>28)</sup>. N<sup>2</sup>원자에 생성물은 *in vivo*에서 간 DNA 와의 지속성 생성물이다.

DNA 와 발암물질의 공유결합적 상호작용이 많이 확인되는 것은 DNA 와 결합된 물질과 phenotypic 효과 사이에 복잡한 관계가 있다는 증거이다. AFB<sub>1</sub>과 Xenobiotics 의 상호작용으로 형성된 생성물이 확인 되거나 반응과정의 분자 단계가 밝혀진다면 돌연변이와 neoplasia의 원인이 되는 생화학적 그들의 역할이 밝혀지게 될 것이다.

## 결 론

AFB<sub>1</sub>(0.6 mg/kg 및 0.06 μCi)을 주사하고 2시간 후에 흰쥐 간 DNA 의 공유결합된 화합물과 vitamin A(2,000 I.U./day) 와 vitamin E(12 mg/day) 를 2주간 투여하고 간 DNA 와 covalent modification 의 chromatographic 분석 결과를 나타냈다.

AFB<sub>1</sub> 과 흰쥐 간 DNA 와 형성된 covalent modification 에 주요 생성물은 2,3-dihydro-3-hydroxy(N<sup>7</sup>-guanyl) aflatoxin B<sub>1</sub>이고 그의 부생성물로는 2,3-dihydro-2,3-dihydroxy-aflatoxin B<sub>1</sub> 등이 형성되었다.

Vitamin A와 E를 투여한 흰쥐에서 AFB<sub>1</sub>과 DNA 와 covalent modification 은 거의 80% 이상 감소되었고 주요 생성물인 2,3-dihydro-3-hydroxy(N<sup>7</sup>-guanyl) aflatoxin B<sub>1</sub>의 DNA 와 modification 은 약 90% 감소하였다.

## REFERENCES

- 1) Wogan, G.N.: Aflatoxin carcinogenesis. Methods cancer Res., 1973; 8: 309-344.
- 2) Wogan, G.N.: The induction of liver cell cancer by chemicals. In: H.M., Cameron, D.A., Linsell, and G.P. Warwick(eds), Livercell cancer, pp 121-151, Amsterdam: Elsevier / North Holland Pub. Co., 1976.
- 3) Garner, R.C.: Microsome dependent binding of Aflatoxin B<sub>1</sub> to DNA, RNA, Polyribonucleotides and protein in vitro. Chem. Biol. Interact. 1973; 6: 125-129.
- 4) Swenson, D.H., Lin, J., Miller, E.C. and Miller, J.A.: Aflatoxin B<sub>1</sub>-2,3-oxide as a probable intermediate in the covalent binding of Aflatoxin B<sub>1</sub> and B<sub>2</sub> to rat liver DNA and ribosomal RNA *in vivo*. Cancer, Res., 1977; 37: 172-181.
- 5) Swenson, D.H., Miller, E.L., and Miller, J.A. Aflatoxin B<sub>1</sub> 2,3-oxide: Evidence for its formation in rat liver *in vivo* and by human microsomes *in vitro*. Biochem. Biophys. Res., Commun., 1974; 60: 1036-1043.
- 6) Swenson, D.H., Miller, J.A., and Miller, E. L. 2,3-Dihydro-2,3-dihydroxy-aflatoxin B<sub>1</sub>: An acid hydrolysis formed by hamster and rat liver microsomes *in vitro*. Biochem. Biophys. Res. Commun., 1973; 53: 1260-1276.
- 7) Croy, R.G., Essigmann, J.M., Reinhold, V.N., and Wogan, G.N. Identification of the principal aflatoxin B<sub>1</sub>-DNA adduct formed *in vivo* in rat liver. Proc. Natl. Acad. Sci. U.S.A., 1978; 75: 1745-1749.
- 8) Essigmann, J.M., Croy, R.G., Nadzan, A.M., Busby, W.F., Reinhold, V.N., Buchi, G., and Wogan, G.N. Structural identification of the major DNA adduct formed by aflatoxin B<sub>1</sub> *in vitro*. Proc. Natl. Acad. Sci. U.S.A., 1977; 74: 1870-1874.
- 9) Lin, J., Miller, J.A., and Miller, E.C. 2,3-Dihydro-2-(guan-7-yl)-3-hydroxy-alfa-toxin B<sub>1</sub>, a major acid hydrolysis product of aflatoxin B<sub>1</sub>-DNA or ribosomal RNA adducts formed in hepatic microsome mediated reactions and in rat liver *in vivo*. Cancer Res., 1977; 37: 4430-4438.
- 10) Essigmann, J.M., Donahue, P.R., Story, D.L., Wogan, G.N., and Brunengraber, H. Use of the isolated perfused rat liver to study carcinogen-DNA adduct formation from aflatoxin B<sub>1</sub> and steigmatocystin. Cancer Res., 1980; 40: 4085-4091.
- 11) D'Andrea, A.D., and Haseltine, W.A.: Modification of DNA by aflatoxin B<sub>1</sub> creates alkali labile lesions in DNA at positions of guanine and adenine. Proc. Natl. Acad. Sci. U.S.A 1978; 75: 4120-4124.
- 12) Garner, R.C.: Reduction of binding of [<sup>14</sup>C] aflatoxin B<sub>1</sub> to rat liver microsomal metabolite of aflatoxin B<sub>1</sub>. Br. J. Cancer, 1975; 28: 544-551.
- 13) Croy, R.G., and Wogan, G.N. : Identification

- of an aflatoxin B<sub>1</sub>-DNA adduct formed in vivo in rat liver. Proc. Am. Soc. Cancer Res., 1979; 20: 182.
- 14) Garner, R.C. and Wright, C.M.: Binding of [<sup>14</sup>C]aflatoxin B<sub>1</sub> to cellular macromolecules in the rat and hamster. Chem. Biol. Interact. 1977; 11: 123 - 131.
- 15) Lawley, P.D.: In screening tests in chemical carcinogenesis, eds. Montesano, R., Barsch, H. and Tomatis, L. (International Agency for Research on Cancer, Lyon, France) pp 181 - 208, 1976.
- 16) Singer, B.: In progress in nucleic acid research and molecular biology, ed. Cohn. (Academic Press, New York), vol 15. 1975; pp219 - 284.
- 17) Wogan, G.N., Croy, R.G., Essigmann, J.M., Groopman, J.D., Thilly, W.G., Skopek, T.R., and Liber, H.L.: Mechanism of action of aflatoxin B<sub>1</sub> and sterigmatocystin: relationships of macromolecular binding to carcinogenicity and mutagenicity. In: P.E. Emmelot and E. Kreik (eds.). Environmental carcinogens: Occurrence, Risk Evaluation and Mechanisms. pp 97 - 121. Amsterdam : Elsevier / North Holland Pub. Co., 1979.
- 18) Schabert, J.C. and Steyn, M.: Substrate and PB inducible aflatoxin-4-hydroxylation and aflatoxin metabolism. Biochem. Pharmacol., 1969; 18: 2241 - 2252.
- 19) Buckley, J.D., O'Connor, D.J. and Craig, A. W.: Pretreatment with acetylaminofluorene enhances repair of O<sup>6</sup>-methylguanine in DNA. Nature (Lond.), 1979; 281: 403 - 404.
- 20) Montesano, R., Bersel, H., and Margison, G. P.: Increased excision of O<sup>6</sup>-methylguanine from rat liver DNA after chronic administration of dimethylnitrosamine. Cancer Res., 1979; 39: 1798 - 1802.
- 21) Warwick, G.P. and Roberts, J.J.: Persistent binding of butter yellow metabolites to rat liver DNA. Nature (Lond.), 1967; 213: 1206 - 1207.
- 22) Kreik, E.: Persistent binding of a new reaction product of the carcinogen N-hydroxy-N-2-acetylaminofluorene with guanine in rat liver DNA in vivo. Cancer. Res., 1972; 32: 2041 - 2048.
- 23) Lin, J.K., Miller, J.A., and Miller, E.C.: Structures of hepatic nucleic acid bound dyes in rats given the carcinogen N-methyl-4-aminoazobenzene. Cancer Res., 1975; 35: 844 - 850.
- 24) Westra, J.G., Kriek, E., and Hitten hausen, H.: Identification of the persistently bound from of the carcinogen N-acetyl-2-amino-fluorene to rat liver DNA in vivo. Chem. Biol. Interact., 1976; 15: 149 - 164.